# СТАТИСТИЧЕСКИЕ СВОЙСТВА АППРОКСИМАЦИИ ДВОИЧНЫХ ФУНКЦИЙ С ИСПОЛЬЗОВАНИЕМ ИСКУССТВЕННЫХ НЕЙРОННЫХ СЕТЕЙ

К. В. ЛАТУШКИН, Ю. С. ХАРИН

НИИ прикладных проблем математики и информатики, Белорусского государственного университета, г. Минск, Республика Беларусь

#### Введение

В последние годы Искусственные нейронные сети (ИНС) начинают широко использовать в задачах криптологии и кибербезопасности [1–3]. Примерами таких задач являются: аппроксимация дискретных функций в программных датчиках псевдослучайных последовательностей, оценка *s*-блоков и других криптографических примитивов; распознавание компьютерных атак на информационные системы. Математически эти задачи сводятся к задаче аппроксимации двоичных функций от многих двоичных переменных. Исследованию особенностей этой актуальной задачи посвящена данная публикация.

#### Математическая модель и постановка задачи

Введем обозначения:  $V = \{0,1\}$  – двоичный алфавит; s – натуральное число;  $V^s$  – двоичный гиперкуб;  $x = (x_1, \ldots, x_s)' \in V^s$  – двоичный вектор-столбец;  $I\{B\} \in V$  – индикатор события  $(\Omega, F, P)$ . На вероятностном пространстве определена случайная двоичная функция

$$y = f(x) = f(x_1, ..., x_s), x \in V^s, y \in V,$$
 (1)

задающую классификацию в два класса:  $\Omega_0 = \{y = 0\}$ ,  $\Omega_1 = \{y = 1\}$  которую можно интерпретировать как раскраску каждой вершины в один из двух цветов: y = 0 или y = 1. Функция выбирается равномерно из множества всех  $M = 2^{2^s}$  двоичных функций.

Рассматривается задача статистического оценивания неизвестной двоичной функции (1) по случайной выборке объема n из  $V^s$ :  $X = \{x^{(1)}, ..., x^{(n)}\} \subseteq V^s$ .

Для построения статистической оценки  $\hat{f}(x)$  неизвестной функции (1) по выборке X используется двухслойная искусственная нейронная сеть, математически представимая в виде:

$$\hat{f}(x_1, \dots, x_s) = \sigma \left( b_0 + \sum_{j=1}^m b_j * ReLU \left( a_{0j} + \sum_{i=1}^s a_{ij} x_i \right) \right), \tag{2}$$

где  $\{b_i\}$ ,  $\{a_{ij}\}$  — коэффициенты (веса) модели;  $ReLU(z) = \max\{0,z\};\ \sigma(z) = 1/(1+e^{-z})$ . На рис. 1 представлена графическая схема ИНС, соответствующая (2); здесь  $\left\{H_i^{(1)}\right\}$  — набор из m нейронов 1—ого (скрытого) слоя,  $H^{(2)}$  — нейрон 2-го слоя.

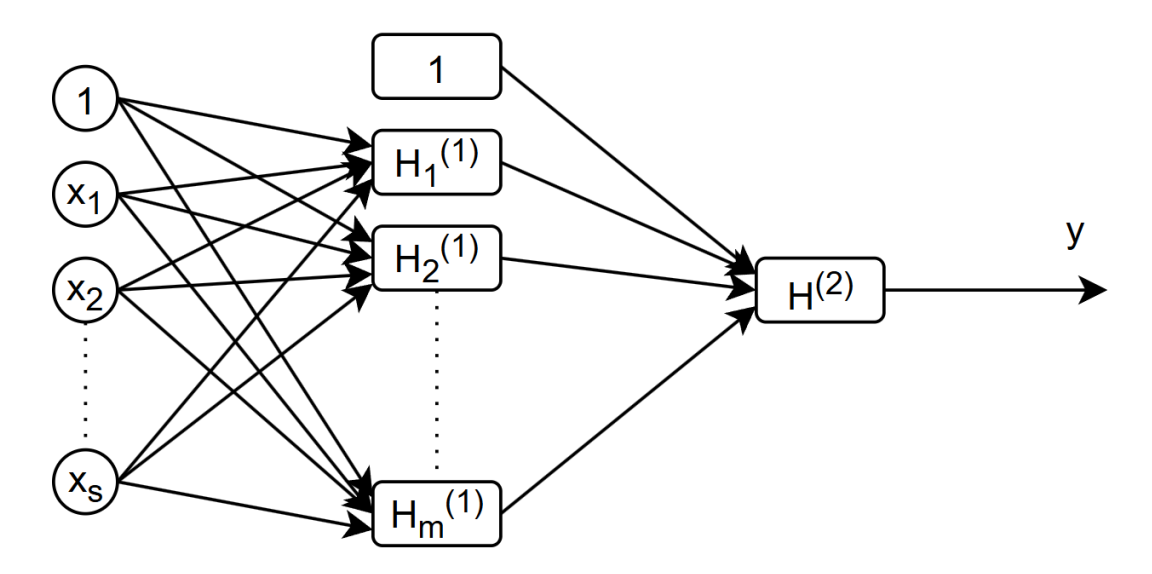


Рисунок 1 – Графическая схема искусственной нейронной сети (ИНС)

Для обучения ИНС (2) в качестве функции потерь выбрана бинарная перекрестная энтропия [4]:

$$H(\hat{y}) = -\frac{1}{n} \sum_{t=1}^{n} (y^{(t)} \log(\hat{y}^{(t)}) + (1 - y^{(t)}) \log(1 - \hat{y}^{(t)})), \tag{3}$$

где  $\hat{y}^{(t)} = \hat{f}(x^{(t)})$  — полученная в процессе обучения оценка  $y^{(t)}$ , а для оценивания точности обучения метрика *ассигасу* — доля правильно классифицированных вершин:

$$accuracy = \frac{1}{n} \sum_{t=1}^{n} I\{\hat{y}^{(t)} = y^{(t)}\}.$$
 (4)

Задача заключается в оценивании зависимости числа m нейронов скрытого слоя, достаточных для аппроксимации на заданном уровне точности  $\alpha$ , от числа s — количества переменных случайно заданной функции f.

### Описание компьютерных экспериментов

Проведены три серии экспериментов.

Серия 1. Выбирается некоторая функция  $f(x_1, ..., x_s)$ , , которая задает раскраску гиперкуба случайным образом:

$$P{y = 0} = P{y = 1} = \frac{1}{2}$$

По случайной выборке X объема  $n=2^s$  строится оценка  $\hat{f}(x_1,...,x_s)$  ИНС с m нейронами и находится наименьшее  $\hat{m}$  при котором достигается частота  $\alpha=0.95$  совпадения значений f и  $\hat{f}$  за итераций (эпох) алгоритмом обучения ИНС, реализованным в библиотеке tensorflow.

Для нахождения  $\widehat{m}$  алгоритмом бинарного поиска перебираются значения из отрезка [1, n] и на каждом выбранном m запускается процесс обучения. Эксперимент повторяется K раз для каждого S и формируется S выборок  $M^{(S)} = \{m_1^{(S)}, m_2^{(S)}, ..., m_K^{(S)}\}$ .

Серия 2. В этой серии экспериментов исследуется способность ИНС безошибочно  $(\alpha=1)$  аппроксимировать случайную функцию, количество итераций (эпох) обучения увеличивается до .

Серия 3. В этой серии экспериментов исследуются функции «наиболее трудные» (по количеству нейронов  $\widehat{m}$ ) для аппроксимации ИНС. Число различных двоичных функций от бинарных переменных равно  $M=2^{2^8}$ ), что s=3 для составляет M=256. На всех возможных функциях вычисляются и формируется выборка  $M^{(s)}=\{m_1,m_2,...,m_{2^{2^8}}\}$ . Для уменьшения влияния начальных значений параметров ИНС на результат обучения  $\widehat{m}$  вычисляется для каждой функции L раз и выбирается наименьшее.

Отметим, что во всех этих экспериментах для обучения модели ИНС используется адаптивный метод градиентного спуска Adam с параметрами  $\beta_1 = 0.9, \beta_2 = 0.999, l_{rate} = 0.001.$  Начальные коэффициенты задаются согласно [5, 6] из распределений:

$$a_{ij} \sim N\left(0, \sqrt{\frac{2}{s}}\right), b_i \sim U\left[-\frac{\sqrt{6}}{\sqrt{m+1}}, \frac{\sqrt{6}}{\sqrt{m+1}}\right].$$

#### Регрессионная оценка зависимости числа нейронов

По результатам серий экспериментов № 1, № 2 для каждого по выборке  $M^{(s)}$  построены оценки среднего  $\hat{\mu}^{(s)}$  и среднеквадратичного отклонения  $\hat{\sigma}^{(s)}$  величины  $\hat{m}$ . На рисунках 2, 3 представлены столбчатые диаграммы, по горизонтальной оси нанесены значения параметра s, а по вертикальной — оценки  $\hat{\mu}^{(s)}$  и  $\hat{\sigma}^{(s)}$  в логарифмической шкале (по основанию 10).

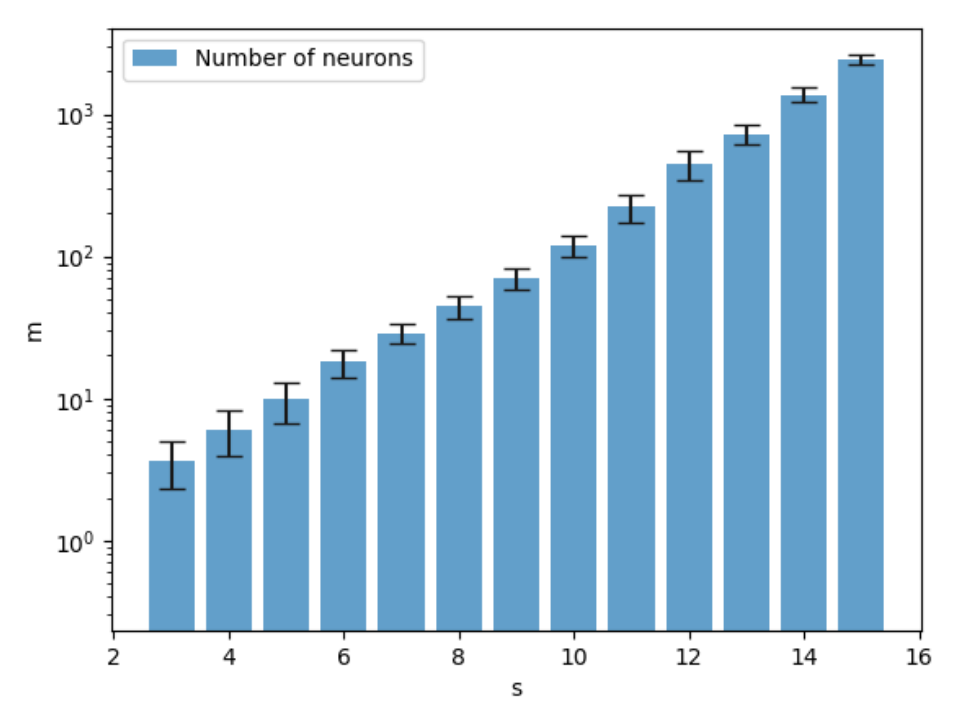


Рисунок 2 — Столбчатая диаграмма оценок среднего и среднеквадратичного отклонения величины  $\widehat{m}$  в серии экспериментов № 1 для соответствующих s

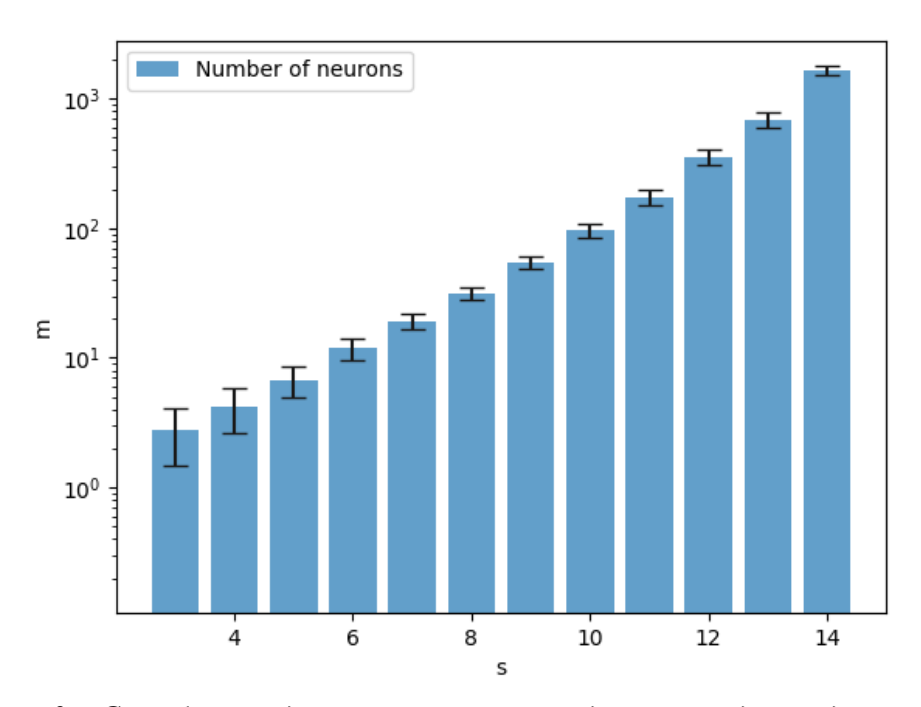


Рисунок 3 — Столбчатая диаграмма оценок среднего и среднеквадратичного отклонения величины  $\widehat{m}$  в серии экспериментов № 2 для соответствующих s

По результатам проведенных экспериментов зависимость среднего числа нейронов  $\mu = \mu(s)$  при аппроксимации двоичных функций (1) с помощью ИНС (2)-(4) допускает следующую нелинейную регрессионную зависимость:

$$\mu(s) \approx (as^4 + bs^3 + cs^2 + ds + e)f^s,$$

где коэффициенты *a, b, c, d, e, f* найдены при решении задачи минимизации:

$$G(a,b,c,d,e,f) = \frac{1}{s_{max} - s_{min} + 1} \sum_{s=s_{min}}^{s_{max}} \left( \frac{\mu(s) - \hat{\mu}^{(s)}}{\hat{\sigma}^{(s)}} \right)^2 \to \min_{a,b,c,d,e,f}.$$

Результаты решения задачи минимизации представлены в таблице 1.

Таблица 1 – Результаты решения задачи минимизации

	Серия № 1	Серия № 2
а	0.0194066	0.0008
b	-0.451091	-0.0219983
С	3.97759	0.225223
d	-13.9166	-0.9509
е	18.7154	2.11477
f	1.19617	1.55643
$G_{min}$	0.0222633	0.0375392

## О «наиболее трудных» для аппроксимации функций.

На рисунке 4 представлена гистограмма выборки  $M^{(s)}$ , полученной из серии экспериментов  $N_2$  3, для s=3 при переборе всех  $M=2^{2^s}$  двоичных функций.

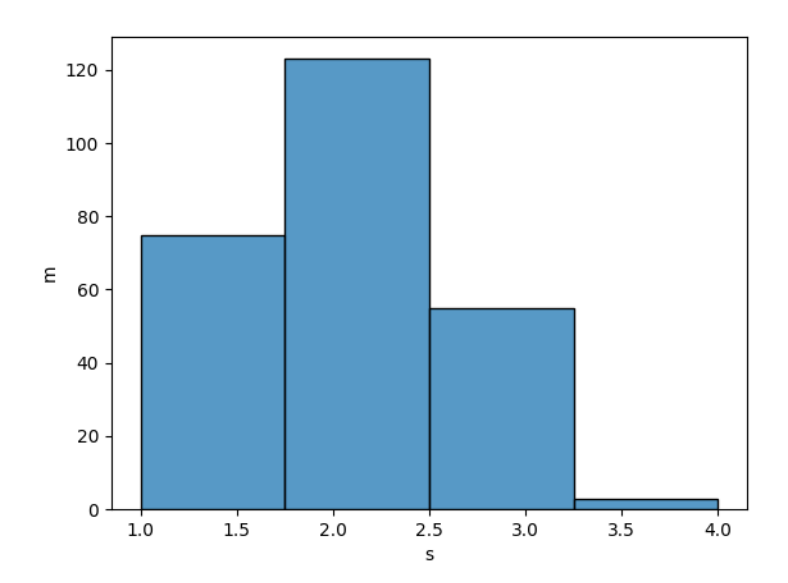


Рисунок 4 – Гистограмма для выборки

В таблице (2) представлены 10 «наиболее трудных» для аппроксимации функций при s=3, где  $y_0=f(0,...,0), y_1=f(0,...,1), y_{2^s-1}=f(1,...,1).$ 

Таблица 2 – «Наиболее трудные» для аппроксимации функции при s = 3

1 0	1
Число нейронов <i>т</i>	Значения функции f $Y=(y_0,y_1,,y_(2^s-1))$
3	Y=(1,1,0,1,0,1,1,0)
3	Y=(1,1,0,1,1,0,0,0)
3	Y=(1,1,0,1,1,0,1,1)
3	Y=(1,1,1,0,0,0,1,1)
3	Y=(1,1,1,0,0,1,1,1)
3	Y=(1,1,1,0,0,1,1,0)
3	Y=(1,1,1,0,1,0,1,1)
4	Y=(0,1,0,0,0,0,1,0)
4	Y=(0,1,1,1,1,0,0,1)
4	Y=(1,0,0,1,0,1,1,0)

### Литература

- 1. Gohr A. Improving attacks on round-reduced speck 32/64 using deep learning // Advances in cryptology, CRYPTO-2019. -2019.-P.150-179.
- 2. Deep learning-based physical side-channel analysis / S. Picek, G. Perin, L. Mariot, L. Wu, L. Batina // ACM Computing Surveys, Vol. 55(11). 2023. P.1–35.

- 3. Boanca, S. Exploring patterns and assessing the security of pseudorandom number generators with machine learning / S. Boanca // International Conference on Agents and Artificial Intelligence. 2024. Vol.3. P.186–193.
- 4. Николенко, С. Глубокое обучение. Погружение в мир нейронных сетей / С. Николенко, А. Кадурин, Е. Архангельская. СПб.: Питер, 2018. 480 с.
- 5. Glorot X., Bengio Y. Understanding the Difficulty of Training Deep Feedforward Neural Networks // International conference on artificial intelligence and statistics, 2010. P. 249–256.
- 6. Delving DeepintoRectifiers: Surpassing Human-Level Performance on ImageNet Classification / K. He et al. // Proc. ICCV 2015, 2015. P. 1026–1034.